

4. Mecanismos básicos (cascada electromagnética)

4.1 Interacción de electrones.

Pérdida de energía por ionización.

- Pérdida de energía por ionización:

- Incluye sólo la ionización
- **Fórmula de Bethe y Bloch**, válida para partículas de $m \geq m_\mu$.
- Electrones y positrones → tratamiento especial, por: ($m_{\text{pro}} = m_{\text{blan}}$)

Fórmula de Bethe para electrones
(Libro: Leo técnicas Experimentales)

$$\rightarrow \left\langle -\frac{dE}{d\chi} \right\rangle = 4\pi N_A r_e^2 m_e c^2 Z^2 \frac{Z}{A} \frac{1}{\beta^2} \left[\frac{1}{2} \ln \frac{2m_e c^2 \gamma^2 \beta^2}{I^2} T_{\text{máx}} - \beta^2 - \frac{\delta}{2} \right]$$

- $dE/d\chi$ en MeV g⁻¹ cm². (longitud reducida: $\chi = \rho x$)
- $dE/d\chi$ depende sólo de β , independiente de m .
- La fórmula considera sólo transferencias de energía que:

Efecto de densidad

$$I \leq dE \leq T_{\text{máx}} \quad I: \text{potencial medio de excitación}$$

Aproximado: $I \approx I_0 Z$; $I_0 = 10 \text{ eV}$; I es propio de cada elemento

- Mejor estimación → $I(\text{eV}) = (9,76 + 58,8 Z^{-1,19}) Z$

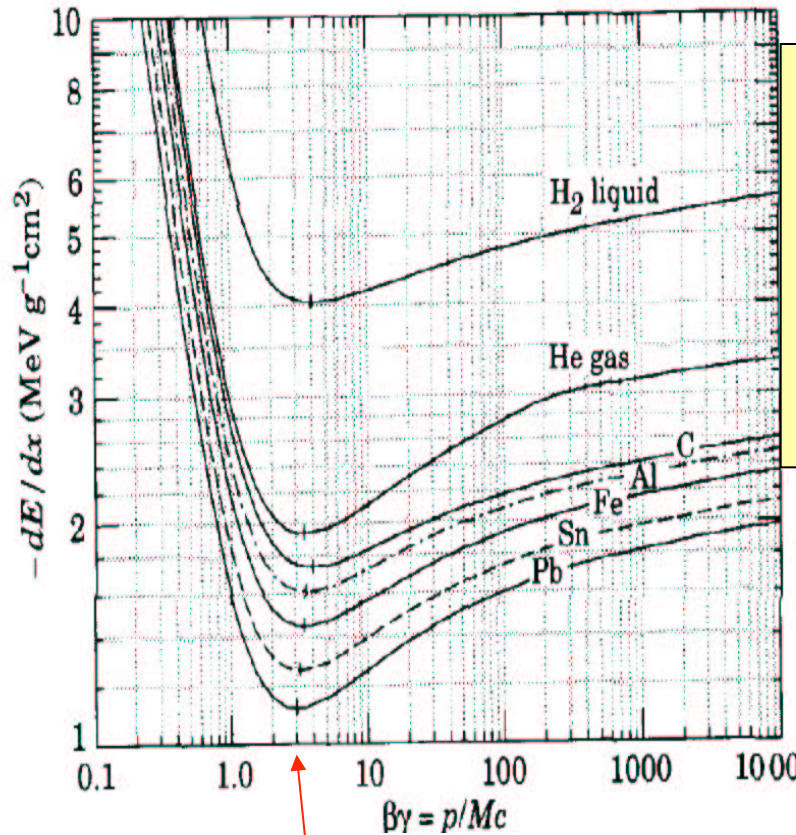
- Figuras →

$$\frac{dE}{dx} = \rho \frac{dE}{d\chi} \rightarrow \rho \frac{N_A}{A}$$

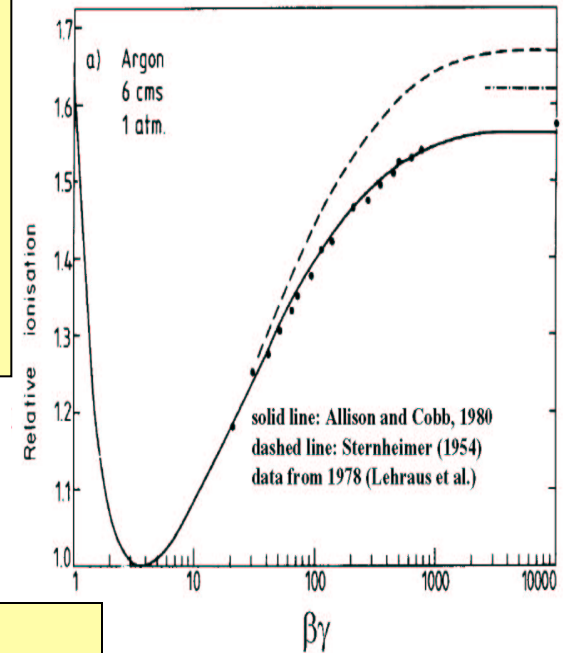
Es la densidad de centros difusores del blanco

Energía máxima transferible

Pérdida de energía de las partículas en función de su momento, para diferentes materiales



Z/A no difiere mucho para los diversos elementos excepto para el H



El mínimo se halla para $\beta\gamma \sim 3$, es decir partículas relativistas de $\beta \sim 0.94$

Pérdida de energía en función del recorrido reducido: $\frac{dE}{d\chi}$

1) A energías no relativistas, domina el término $(1/\beta^2)$

2) **Se alcanza un mínimo de Ionización (mip)**

3) A energías relativistas domina el término creciente relativista (δ)

Propiedades Ionización (Interpretación de la fórmula y figuras):

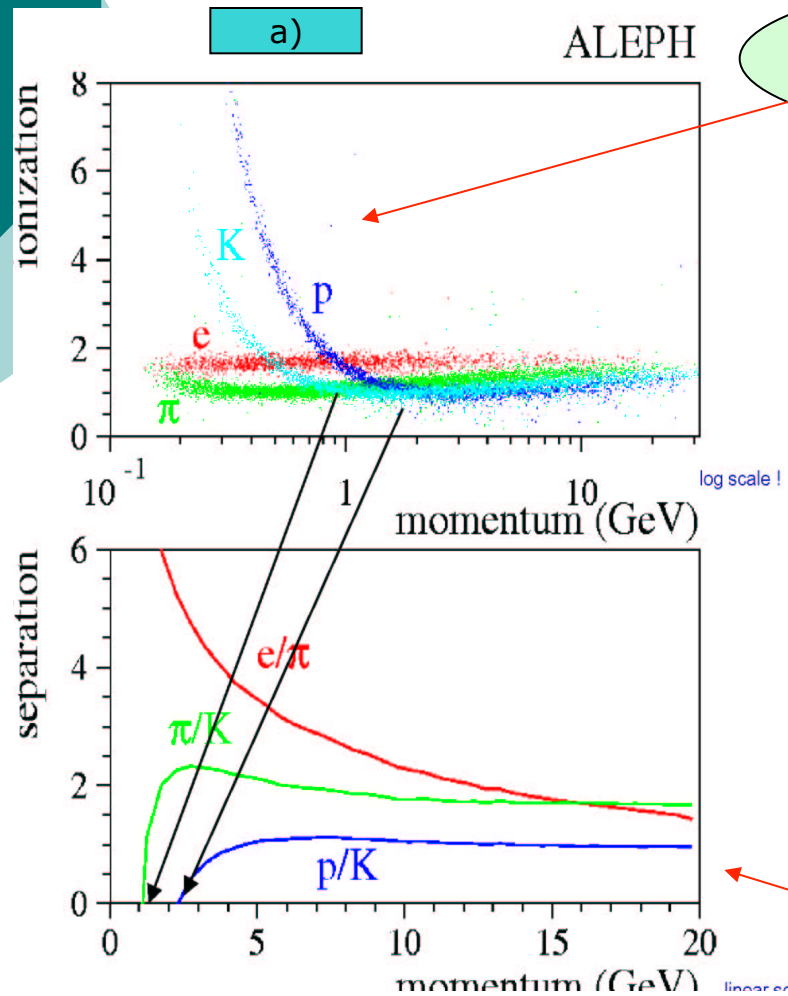
- Para un medio determinado, depende sólo de la velocidad de la partícula (β)
- Las partículas lentas ionizan más (ver figura anterior, energías no relativista).
- Depende de $z^2 \rightarrow$ aumenta mucho para iones
- Partículas lentas \rightarrow elevada pérdida de energía \rightarrow (saturación?)
- dE/dx decrece como $1/\beta^2$, factor cinemático.
- Mínimo de ionización para $\beta\gamma=3 \rightarrow$ definición de **m.i.p.** (minimum ionizing particle)
- Valor típico de pérdida de energía (m.i.p.): $dE/dx \sim 2 \text{ MeV g}^{-1} \text{ cm}^{-2}$
- Aumento Relativista: **término $\ln \gamma^2$** . Atribuido a la expansión relativista del campo eléctrico transversal \rightarrow contribución de colisiones más distantes.
- Plateau: aumento relativista cancelado por "efecto densidad". Apantallamiento de átomos distantes por polarización del medio: parametrizado por **δ** (mayor efecto en sólidos y líquidos).

Figura

Ejemplos de aplicación:

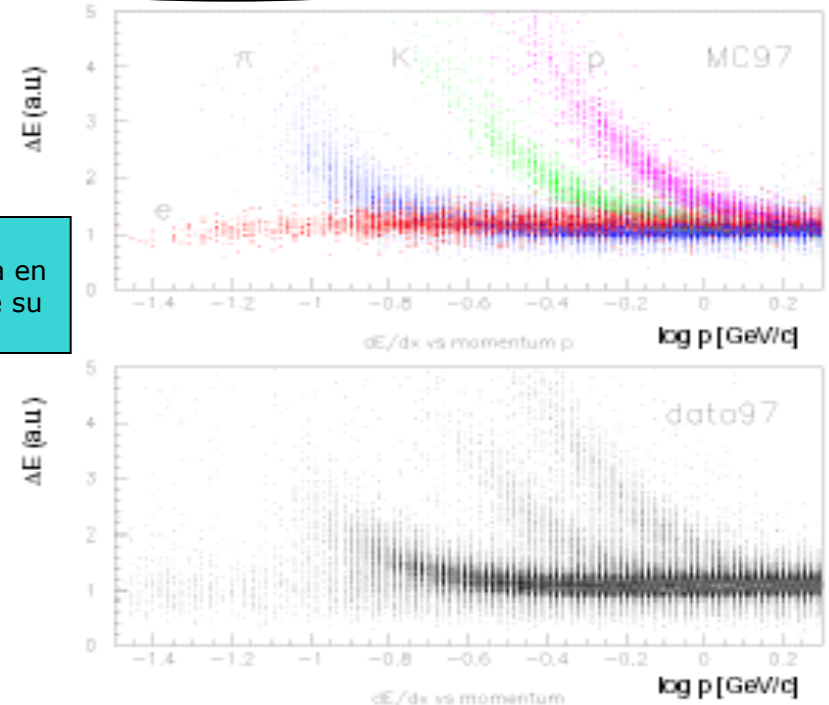
a) TPC de Aleph. Gas: Ar/CH₄ 90/10 . N_{muestras}=338. Resolución=5% para mip's.

b) Detector de microvértices de Delphi (Si): 3x300 μ m



La ionización de la partícula en función de su momento, permite su identificación

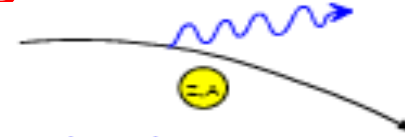
Pérdida de energía en función de su momento



Poder separador momento-ionización

Radiación de bremsstrahlung

Radiation of real photons in the
Coulomb field of the nuclei of the absorber



- Proceso **competitivo** del de ionización (pérdida de energía)
- Las partículas cargadas **radian fotones** por interacción de Coulomb con los campos eléctricos generados por los núcleos.
- El **espectro energético** de los fotones decrece como $1/E$.
- En general, cada fotón emitido se lleva una **pequeña fracción de la energía** de la partícula → pequeña desviación del e (**difusión culombiana**)

$$\left\langle -\frac{dE}{d\chi} \right\rangle = 4\pi N_A z^2 \frac{Z^2}{A} \left[\frac{1}{4\pi\epsilon_0 m_e c^2} \frac{e^2}{mc^2} \right]^2 E \ln \frac{183}{Z^{1/3}} \rightarrow \frac{E}{m^2}$$

m masa partícula
m_e masa electrón

- m es la masa de la partícula que radia → μ^\pm , a energía ≥ 400 GeV .
- Para electrones:

$$\left\langle -\frac{dE}{d\chi} \right\rangle = 4\pi N_A z^2 \frac{Z^2}{A} r_e^2 E \ln \frac{183}{Z^{1/3}} \rightarrow$$

$$\left\langle -\frac{dE}{d\chi} \right\rangle = \frac{E}{X_0}$$

Muón tiene que tener más
de 400 GeV para perder
energía por bremsstrahlung

Proceso exponencial:

$$E = E_0 e^{-(x/X_0)}$$

- Definición de **longitud de radiación**, propia de cada material, como:

$$X_0 = \frac{A}{4\pi N_A Z^2 r_e^2 \ln \frac{183}{Z^{1/3}}} [en g cm^{-2}] \rightarrow X_0 = \frac{716.4 A}{Z(Z+1) \ln \frac{287}{\sqrt{Z}}} [g cm^{-2}] \quad \text{Aproximación}$$

Tiende a A/Z^2 en $gr.cm^{-2}$

Longitud de Radiación:

$$X_0 = \frac{716.4 A}{Z(Z+1) \ln \frac{287}{\sqrt{Z}}} \left[g \text{ cm}^{-2} \right]$$

- **Definición:** distancia en que un e^\pm de alta energía pierde por bremsstrahlung el 63.2 % de su energía ($1-e^{-1}$)
- **Recomendada** por el PDG
- **Variable de escala:** así los electrones de A.E. pierden misma energía en 18 **cm** de agua que en 2.8 **mm** de Pb ($\sim 0.5 X_0$) → independencia del material (aprox) si la usamos.
- **La sección eficaz asintótica de interacción de fotones** (producción de pares, fundamentalmente) toma el valor:

$$\sigma(E \rightarrow \infty) = \frac{7}{9} \frac{A}{N_A X_0}$$

Recordar que la distancia promedio en que un fotón Produce un par e^+e^- es $9/7 X_0$

Donde A se expresa en g, X_0 en $g \text{ cm}^{-2} \rightarrow N_A / A$ es el número de átomos por gr de material.

- La longitud de radiación para una **mezcla de materiales:** $\frac{1}{X_0} = \sum_i \frac{V_i}{X_i}$
donde V_i X_i son la fracción por volumen y las longitudes de radiación de la componente i-ésima. (en unidades de longitud)
- En el caso de **un compuesto** se reemplazan las fracciones V por las fracciones de masa m_i de cada componente y las longitudes de radiación en $g \cdot \text{cm}^{-2}$.

Ejemplo 1:

- Sea un calorímetro de LiAr construido por láminas paralelas de 5 mm de Pb, separadas por interespacios de Ar líquido de 3 mm de espesor. Las longitudes de radiación de los dos materiales son 5.6 mm y 140 mm., respectivamente. Calcular su longitud de radiación efectiva.

Las fracciones de volumen ocupado por ambos materiales son:

$$V_1(\text{Pb})=62.5\%$$

$$V_2(\text{ArLi})=37.5\%$$

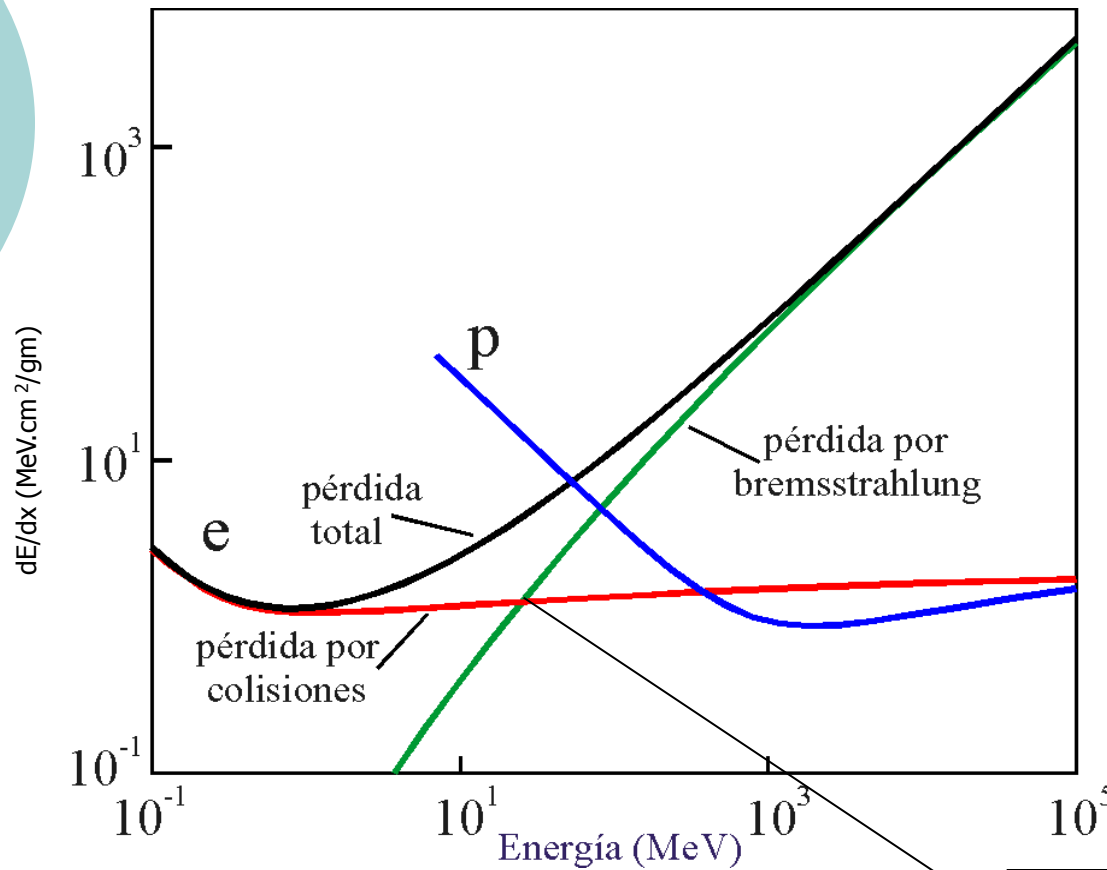
-
- Ejercicio de simulación con EGS4
 - Posiblemente lo propondrá por José Salt/Juan Zúñiga

Ejemplo 2:

- Cálculo de la longitud de radiación de un calorímetro homogéneo construido con vidrio plomado de tungsteno: PbWO_4
- Y sus longitudes de radiación son 6.37/6.76/34.24 $\text{g}\cdot\text{cm}^{-2}$, respectivamente.

- Ejercicio de simulación con EGS4.

**Pérdida de energía (ionización y radiativa) de e^\pm y protones en Cu.
(La radiativa de protones es despreciable)**



- Escala logarítmica
- Los p sólo por ionización, no brems
- A Energías elevadas la pérdida $-dE/dx$ por ionización es despreciable (aunque es la responsable de la señal)

Energía crítica ξ_c

Energía crítica ξ_c .

- Definida (recomendada por el PDG) como la energía para la que se igualan las pérdidas de radiación con las de ionización.

$$\left. \frac{dE}{dx}(\xi_c) \right|_{\text{brems}} = \left. \frac{dE}{dx}(\xi_c) \right|_{\text{ion}} \rightarrow \xi_c^{\text{sol+liq}} = \frac{610 \text{ MeV}}{Z + 1.24}$$
$$\xi_c^{\text{gas}} = \frac{710 \text{ MeV}}{Z + 1.24} \quad (\text{efecto densidad en } dE/dx)$$

$\xi_c(e^-) = 22.4 \text{ MeV}$ para el Fe($Z=26$).

Para todas las partículas existe ley de escala (aproximada) con su masa. Así, para muones: ($m_\mu = 113 \text{ MeV}/c^2$)

$$\xi_c(\mu^\pm) = \xi_c(e^\pm) \left(\frac{m_\mu}{m_e} \right)^2 \rightarrow \xi_c(\mu^\pm) \approx 1 \text{ TeV} \quad \text{en Fe}(Z=26).$$

Energía crítica ξ_c (cont.)

Energía crítica
(def. de Rossi).

- Definida por Rossi como **la energía** para la que la pérdida de energía por ionización en una longitud de radiación iguala a la energía del electrón.

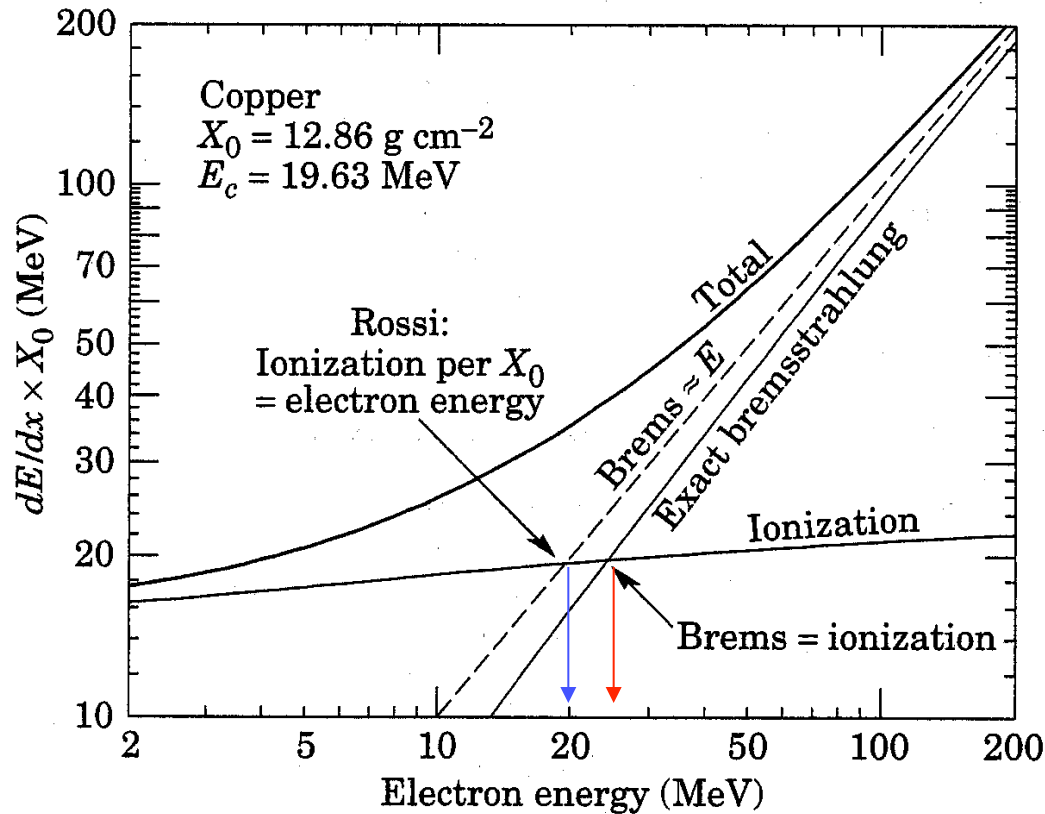
$$(\Delta E)_{\text{ion}} = \left[\frac{dE}{dx} \right]_{\text{ion}} X_0 = E \rightarrow \left[\frac{dE}{dx} \right]_{\text{brems}} = \frac{E}{X_0}$$

La última expresión se cumple si las dos definiciones son congruentes: lo que ocurre sólo a altas energías, en que la pérdida por ionización es despreciable.

- Las diferencias entre ambos conceptos: **figura**

Ionización de electrones en función de su energía por X_0 + pérdida de energía por brems.

Ilustración de las dos definiciones de energía crítica.

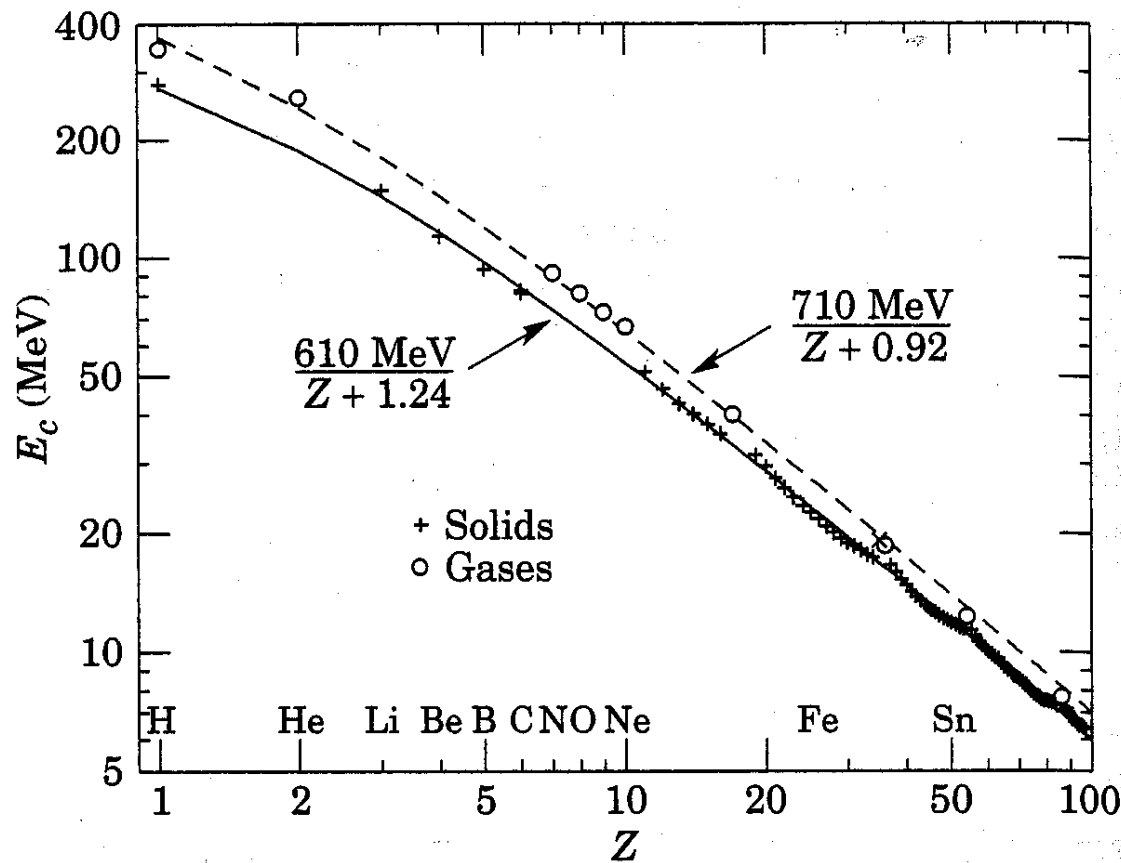


Observe que las escalas son logarítmicas

La pérdida de energía por brems crece exponencialmente con E , por ionización es casi constante

Energía crítica para electrones sobre los diferentes elementos químicos. (Definición de Rossi).

Desviaciones rms de 2.2% para sólidos y 4% para gases



La energía crítica en gases es poco mayor que en sólidos/líquidos

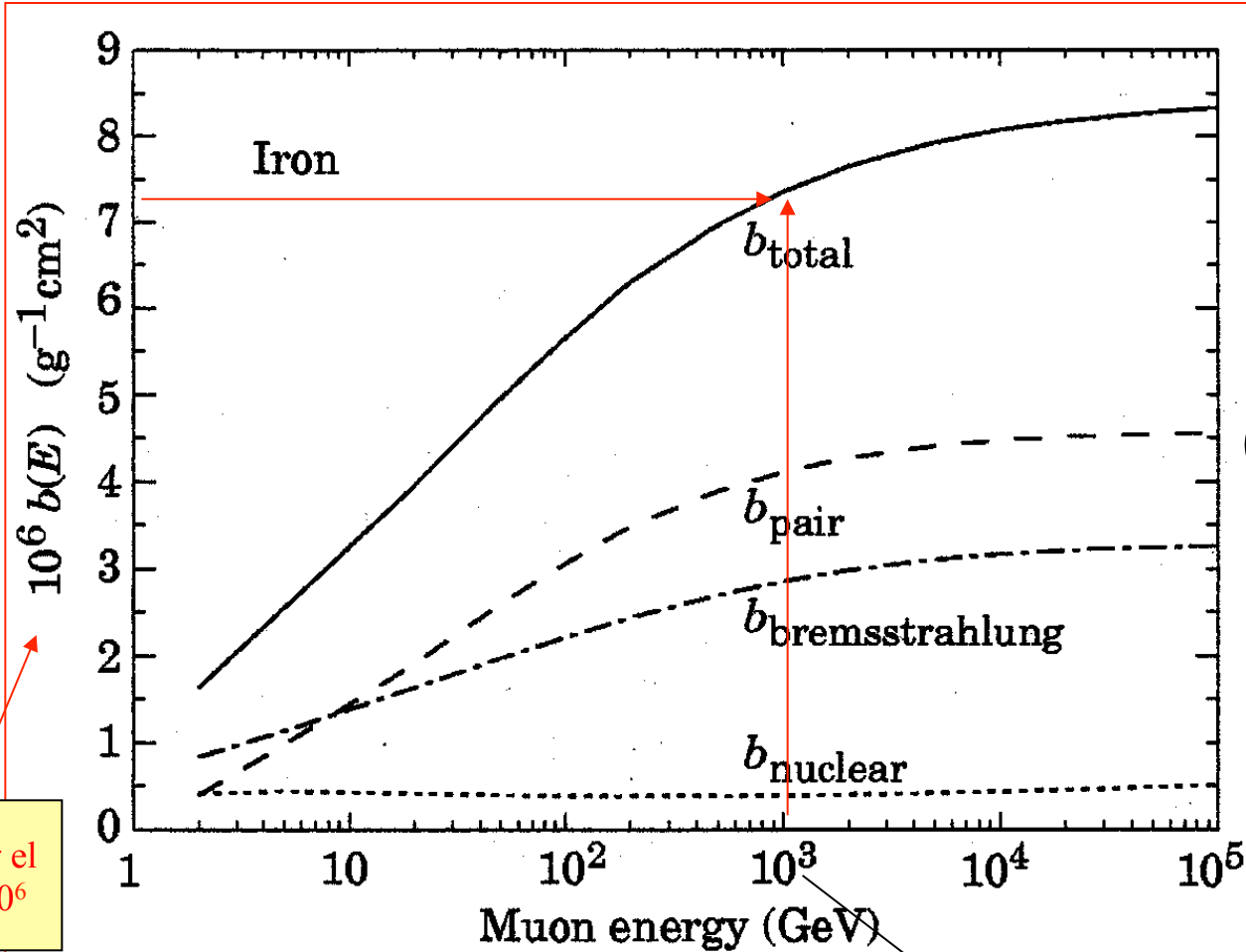
Pérdida de energía para los muones.

- Los muones atraviesan la materia sufriendo interacciones coulombianas (en general mip's) → ionización Bethe y Bloch. (Interacción electrom. y débil).
- La radiación por Brems empieza a ser más importante que la ionización a energías del TeV.
- Las **energías críticas** para muones en Fe son del orden de centenares de GeV. (para protones mucho mayores, no se cumplen exactamente las leyes de escala).
- Los procesos en que los muones radian fotones se caracterizan por:
 - Secciones eficaces pequeñas
 - Fluctuaciones grandes en la energía radiada
 - Generación de cascadas electromagnéticas (o hadrónicas en proceso fotonuclear).
- Pérdida de energía de los muones:
$$-\frac{dE}{d\chi} = a(E) + b(E) E$$
 - $a(E)$ es la pérdida de energía por ionización (practicam. **Cte y**
2 MeV·gr⁻¹cm² (el valor de la mip))
 - $b(E)$ es el coeficiente dependiente de la energía que incluye:
 - Producción de pares e⁺e⁻.
 - Bremsstrahlung
 - Contribuciones fotonucleares

Figura

Término que proporciona aproximadamente
7 MeV de pérdida por gr⁻¹·cm²
para muones de **1 TeV**

- Las diferentes contribuciones a la pérdida de energía de muones en Fe.
 Producción de pares e^+e^- .
 Bremstrahlung
 Reacciones fotonucleares.



El coeficiente b_{total} no incluye la ionización

Observar el Factor 10^6

Muones de 1 TeV

Muones (cont.)

- Bajo la hipótesis de que las funciones a y b sean constantes (varían lentamente en realidad), **el alcance** χ_0 de un muón con E_0 energía incidente

$$\chi_0 \approx \left(\frac{1}{b}\right) \ln\left(1 + \frac{E_0}{E_{\mu c}}\right) \quad \text{siendo } E_{\mu c} = \frac{a}{b}$$

- **Energía crítica** (muones): Se define como aquella energía en que las pérdidas de brems y ionización son iguales. Se obtiene resolviendo la ecuación

$$E_{\mu c} = \frac{a(E_{\mu c})}{b(E_{\mu c})}$$

Figura

Energía crítica de los muones, para los diversos elementos químicos definida como energía en que: **brems=ionización**.

Superior energía en los gases por menor reducción en las pérdidas de energía por ionización por efecto densidad (comportamiento similar al caso de e^-).

